

図2 渴求型の右向き姿勢から得られたデータの例

図3 ノイズ除去前後(例)

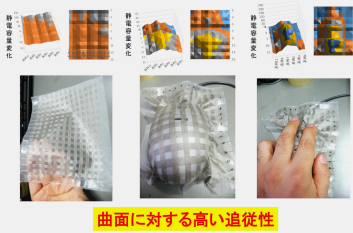


図8 高伸縮性短繊維配向化が電極を用いた圧力センサーシート

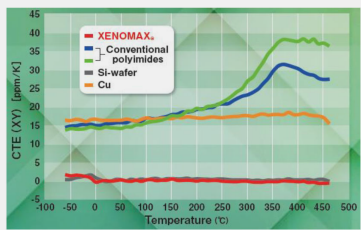


図1 XENOMAX<sup>®</sup>の線膨張係数(CTE)の温度依存性

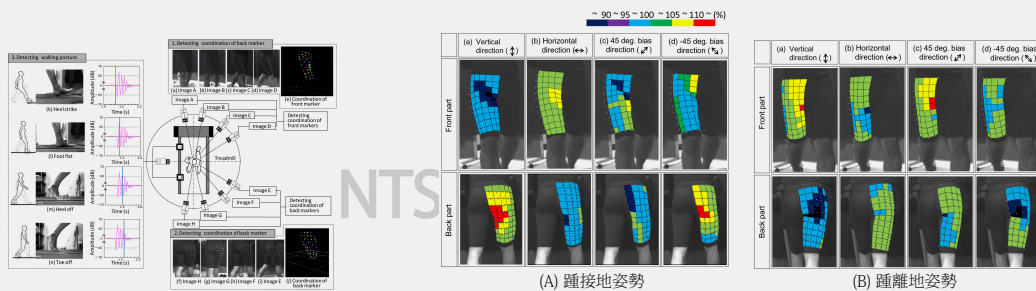


図2 歩行と衣服変形の同期計測システム

図3 衣服変形挙動

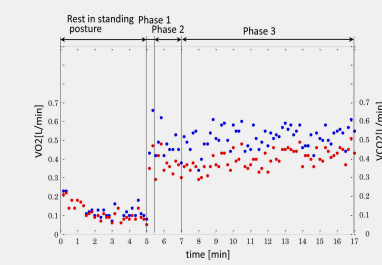


図6 酸素摂取量の変化  
(青印:酸素摂取量, 赤印:二酸化炭素排出量)

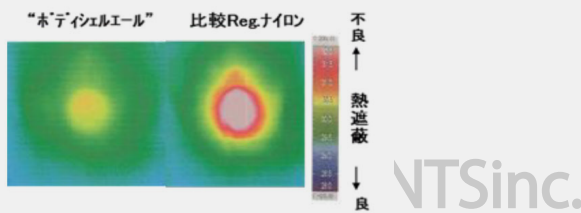


図6 “ボディシェルエール”の熱遮蔽性

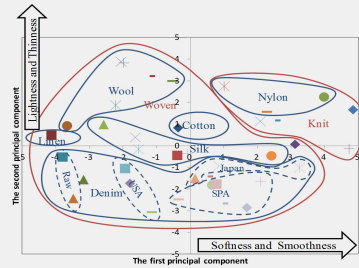


図1 テキスタイル触感の主成分によるテキスタイルの布置



図2 各種先染織物のシミュレーションと実際の比較  
(a)-(e): 実物, (f)-(j): シミュレーション



図3 テキスタイルシミュレーションと実際の比較  
(a)-(c): 実物, (d)-(f): シミュレーション



図2 学童用ベスト



図4 PPSの温度による変化



図8 バーナー接炎10分後の様子



図11 燃焼挙動の比較



図12 鎮火後の状態比較

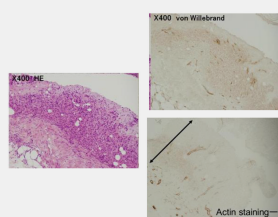


図4 PGA/Collagen ナノコンポジット繊維足場への宿主血管侵入  
(虚血部位であるラット大腿筋膜下への埋入モデル)



図5 糖尿病モデルマウスを用いた欠損再生比較

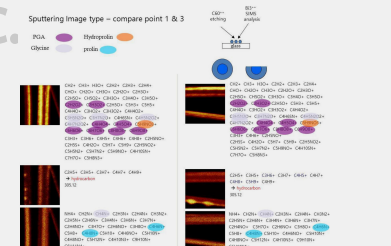


図6 SIMSを用いたPGA/Collagen ナノコンポジット繊維の構造解析

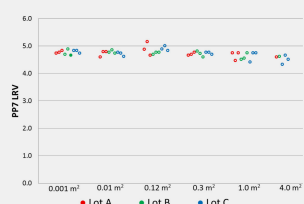


図7 ウイルス除去性のロット間および膜面積間の同索性